

Teil a

I - Grundlagen der Modellbildung und Festigkeitsnachweise

II - Ebene rotationssymmetrische Apparateelemente

- Kreisscheibe
- Kreisplatte
- Kreisring

Teil b

III - Gewölbte Apparatelemente

IV - Kopplung von Apparatelementen

V – Stabilität von Apparaten

VI - Einblick in numerische Methoden - FEM



Fertigung von Flachböden und Klöpperböden durch Kaltumformen



Gesenkformen eines Halbkugelbodens 125 mm, [youtube.com/watch?v=DfWft1hyr2E](https://www.youtube.com/watch?v=DfWft1hyr2E)

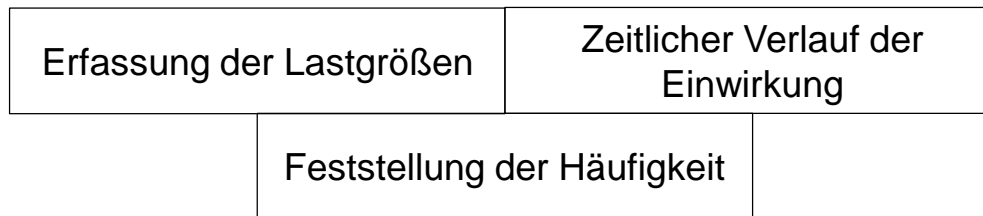
2.1 - Modellbildung und Festigkeitsnachweis

Allgemeine Anforderungen:

- Überschlägige Berechnung des mechanischen Verhaltens
- So einfach wie möglich und so komplex wie nötig
→ Aussagen mit hinreichender Genauigkeit

Belastungen für Modellbildung:

- Einzelkräfte F [N], Linienlast q [N/mm]
- Einzelmomente [N mm], Längenbezogene Momente
- Druck- und Temperaturänderungen



Tragfähigkeitsnachweis im:

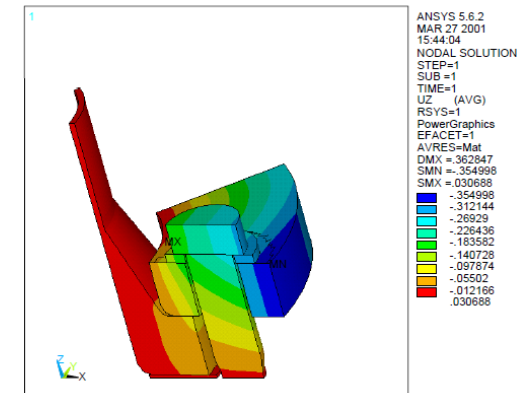
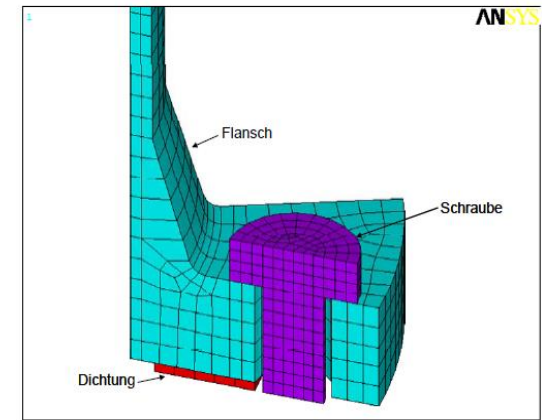
Betriebszustand

Montagezustand

Prüfzustand

Sonderlastfall

→ Festigkeitsnachweis



2.1 - Modellbildung und Festigkeitsnachweis

Festigkeitsnachweis - Spannungskriterien und Bewertung

Elastizitätstheorie /
Membrantheorie /
Traglasttheorie

Bewertung nach
Spannungskategorien

Ersatzlösung

in Kapitel 2

Lösung des Berechnungsmodells

Kriterium:

Vorhandene Belastung \leq zulässige Belastung = $\frac{G_{pl}}{S}$

$$\frac{G_{pl}}{S_G} = F_{GEO} \cdot \frac{K}{S} = F_{GEO} \cdot f$$

G_{pl} - Plastische Grenzlast

S_G - Sicherheit gegen Erreichen der Grenzlast

F_{GEO} - Geometriefaktor

K - Festigkeitskennwert, allgemein

S - Sicherheitsfaktor

f - Auslegungsnennspannung

2.1 - Modellbildung und Festigkeitsnachweis

Auswertung des Festigkeitskriterium

1. Spannungsnachweis

$$\sigma_V \leq f = \frac{K}{S}$$

f - Nach DIN EN 13445, s. Kap. 2.1

K/S - Nach AD 2000 B0, S6

K - Maßgebender Werkstoffkennwert

S - Sicherheit

2. Ermittlung Geometrische Größen (s_{erf} , A_{erf} , W_{erf}) nach AD-M

$s_{\text{erf}} = s_0$ - Festigkeitsmäßig erforderliche minimale Wanddicke

$$s = s_0 + c_1 + c_2$$

$s \rightarrow s_e$ - Realisierte Wanddicke

c_1 - Zuschlag für Minustoleranz s. Kap. 2.1

c_2 - Korrosionszuschlag, Abnutzungszuschlag

Vorgehensweise in DIN EN 13445

→ Maßgebend für den Nachweis (DbR) ist die festigkeitsmäßig erforderliche Wanddicke e

→ Für eine Nachberechnung bzw. DbA wird e_a zugrunde gelegt

2.1 - Modellbildung und Festigkeitsnachweis

Auswertung des Festigkeitskriterium

3. Ermittlung zulässiger Lasten

s - gewählt
 K/S - Bekannt bzw. DIN EN e_a und f
 $\rightarrow p_{zul}, F_{zul}$ und M_{zul}

z.B. Zylinderschale unter Innendruck AD2000 B1 
$$p_{zul} = \frac{(s_e - c_1 - c_2) \cdot 20 \, K/S \cdot v}{D_a - (s_e - c_1 - c_2)} \quad [\text{bar ü}]$$

DIN EN 13445 
$$p_{zul} = \frac{2f \cdot z \cdot e_a}{D_a - e_a} \quad [\text{MPa}]$$

4. Berechnung von Sicherheiten und Auslastungsgraden

$$A_g = \frac{B_{vorh}}{B_{zul}} \quad - \quad B = \text{Belastungsgröße } (p, F, M)$$
$$S = \frac{K}{\sigma_v} \quad \geq 1 \rightarrow \text{Absolute Sicherheit}$$
$$S^* = \frac{K/S}{\sigma_v} \quad \geq 1 \rightarrow \text{Relative Sicherheit}$$

2.1 - Modellbildung und Festigkeitsnachweis

Nachweisarten

Ermüdungsfestigkeitsnachweis

- Nachweis gegen eine kritische Spannungsbreite bzw. kritische Lastwechselzahl

Nachweis gegen fortschreitende plastische Verformung

- FPD = Ratcheting
- Bei wiederholter Belastung aufgrund spez. Materialeigenschaften sich einstellendes Deformationsverhalten

Stabilitätsnachweis

- Nachweis gegen Knicken und Beulen infolge kritischer Druckspannungen
- Unsicherheiten durch Imperfektionen

Nachweis gegen langzeitige Belastungen

- Phänomen der polymeren Werkstoffe und Metallen bei hohen Temperaturen
- Zeitstandfestigkeitsnachweis

Verformungsnachweis

- Verformung beeinflussen Gebrauchsfähigkeit von Bauelementen
- Gegenmaßnahmen gegen Verformung: Versteifungen

Standicherheit

- Grenzzustand gegen Verschieben und Umstürzen von Konstruktionen
- Gleichgewicht, destabilisierender und stabilisierender Einwirkungen unter Einwirkung von Havarie-Situationen

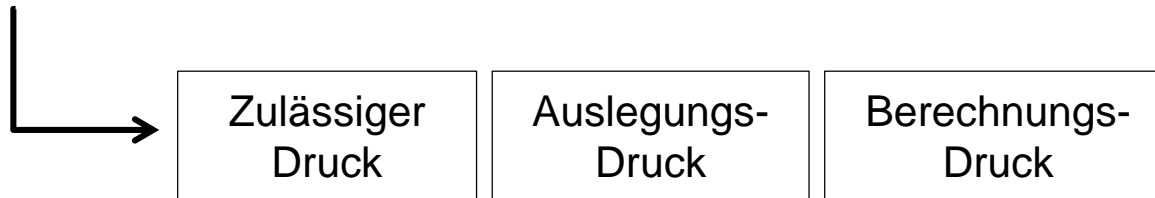
2.1 - Modellbildung und Festigkeitsnachweis

Druck als Lastgröße

- Flächenlast: Kraft / Fläche : $\frac{N}{mm^2}$, MPa oder bar

Physikalisch: absolut

Technisch: Über- oder Unterdruck

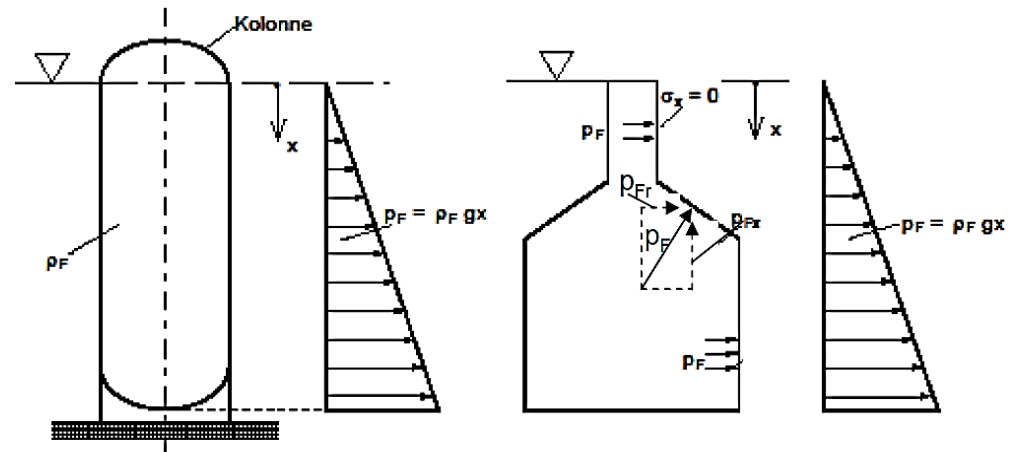


typische Flächenlasten:

- Gasdruck
- Hydrostatischer Druck

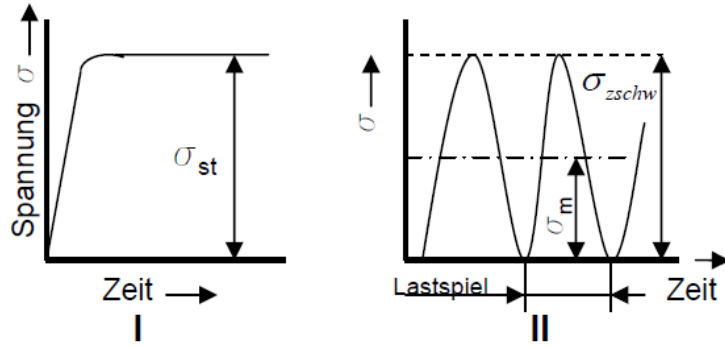
spezielle Flächenlasten:

- Eigenmasse, Schneelast
- Windlast, Zentrifugallast

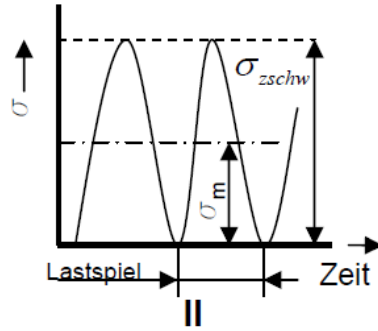


2.1 - Modellbildung und Festigkeitsnachweis

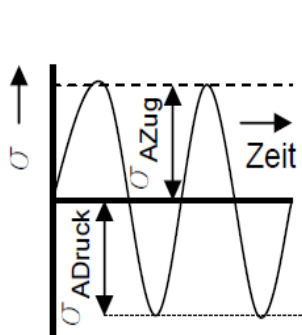
Stabilitätszustand - Belastungsänderungen



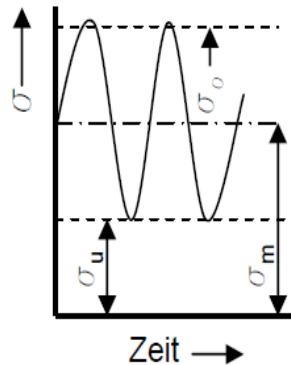
ruhende Beanspruchung



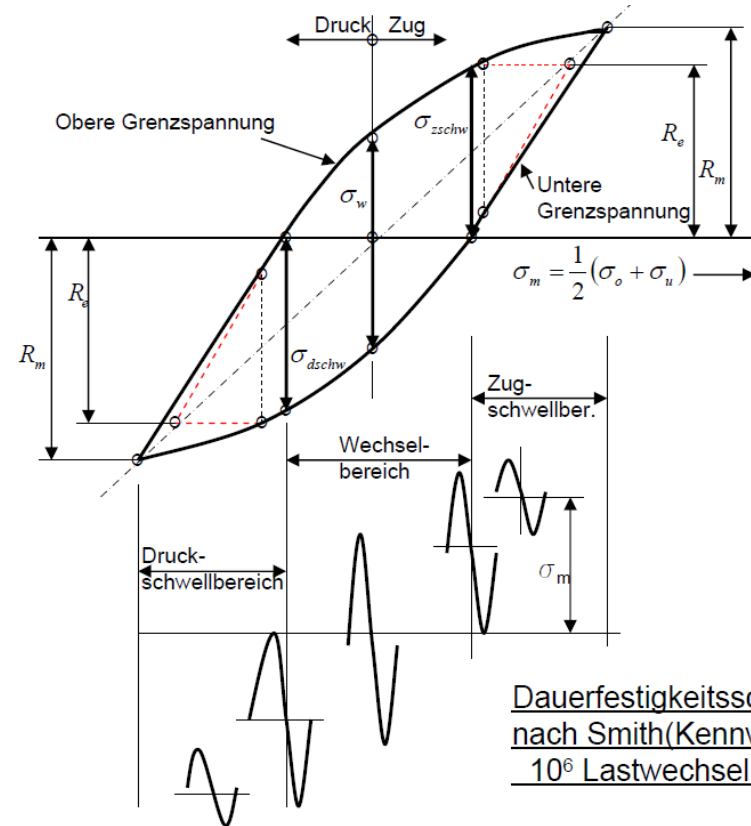
schwellende Beanspruchung („+“Zug; „-“Druck)



wechselnde Beanspruchung (+/-)



schwingende Beanspruchung
um $\sigma_m = \frac{(\sigma_o - \sigma_u)}{2}$



Dauerfestigkeitsschaubild nach Smith (Kennwerte für ca. 10^6 Lastwechsel)

2.1 - Modellbildung und Festigkeitsnachweis

Temperatur als Lastgröße

- Materialkennwerte (s. VI.1) sind Temperaturabhängig
- Dauereinfluss kann zu Kriechen führen

Grenztemperaturen für Werkstoffgruppen:

- Unlegierte Stähle >380 °C
- Niedriglegierte Stähle >440 °C
- Hochlegierte Stähle >525 °C

- Temperaturänderung → Volumenänderung
Behinderung der freien Ausdehnung führt zu
thermischen Spannungen im Material

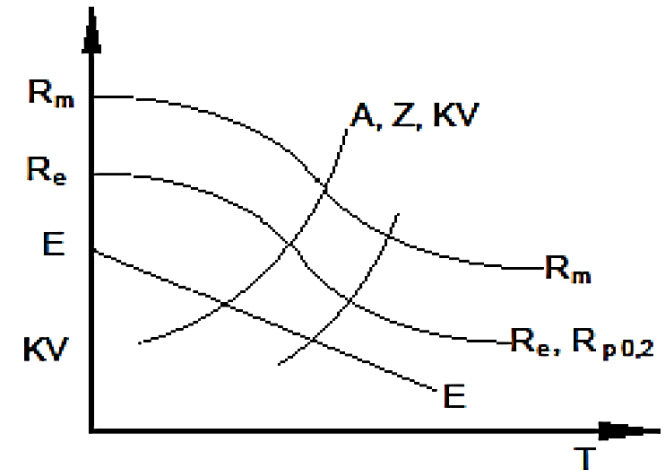
$$\Delta V \sim \alpha (T - T_u) \quad (1)$$

Druck Temperatur-Zuordnung

- Umrechnung von Zustand 1 in Zustand 2 möglich

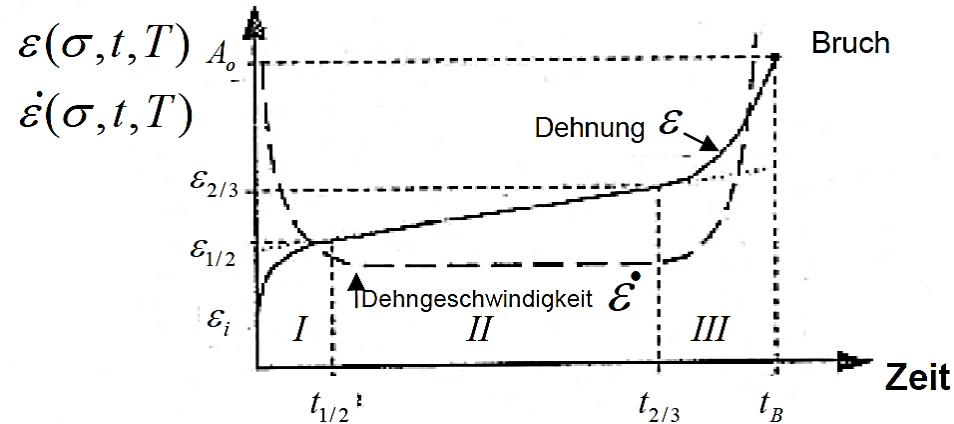
$$\frac{p_1}{\frac{K_1(T_1)}{S}} = \frac{p_2}{\frac{K_2(T_2)}{S}} = \text{konst.}$$

$K_{1,2}$ = Festigkeitskennwerte



2.1 - Modellbildung und Festigkeitsnachweis

Stabilitätszustand – Temperaturbedingtes Kriechen

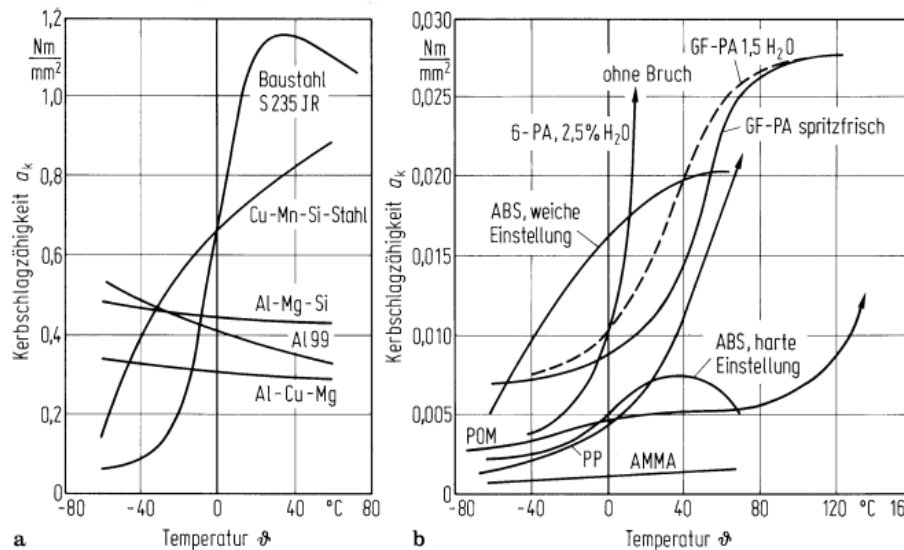


$$\varepsilon(\sigma, t, T) = f_1(\sigma) \cdot f_2(\sigma) \cdot f_3(\sigma)$$

f_1, f_2, f_3 - Empirische Ansätze

Praktisch verfügbare Ansätze:

Norton, Andrade, Bailey, u.a.

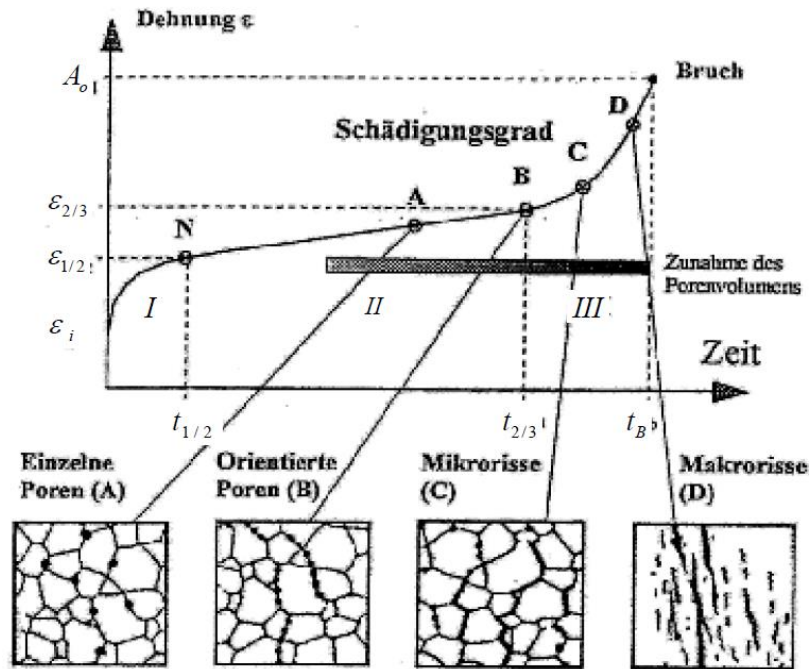


Einfluss von niedrigen Temperaturen auf das Werkstoffverhalten

Abb. 3.30a, b. Einfluß der Temperatur auf die Kerbschlagzähigkeit a_k von, a Metallen, b Kunststoffen (BASF-Werkstoffblatt 4003.1.12, 1965)

2.1 - Modellbildung und Festigkeitsnachweis

Stabilitätszustand – Temperaturbedingtes Kriechen

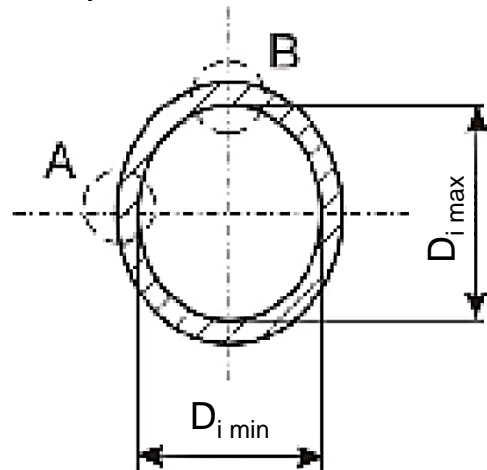


2.1 - Modellbildung und Festigkeitsnachweis

Auslegung und Sicherheiten

S = Sicherheitsbeiwert, charakterisiert die Unsicherheiten in der Festigkeitsanalyse
Kennwerte, Modellgenauigkeiten, Lastannahmen, ...

Bsp: Unrundheit u



$$u = 2 \frac{D_{i \max} - D_{i \min}}{D_{i \max} + D_{i \min}} 100\%$$

A, B – Bereiche max. Beanspruchung

$u \leq 1,5 \%$ durch allgemeinen Sicherheitsfaktor berücksichtigt

→ Bei Nichteinhaltung: spezieller Nachweis

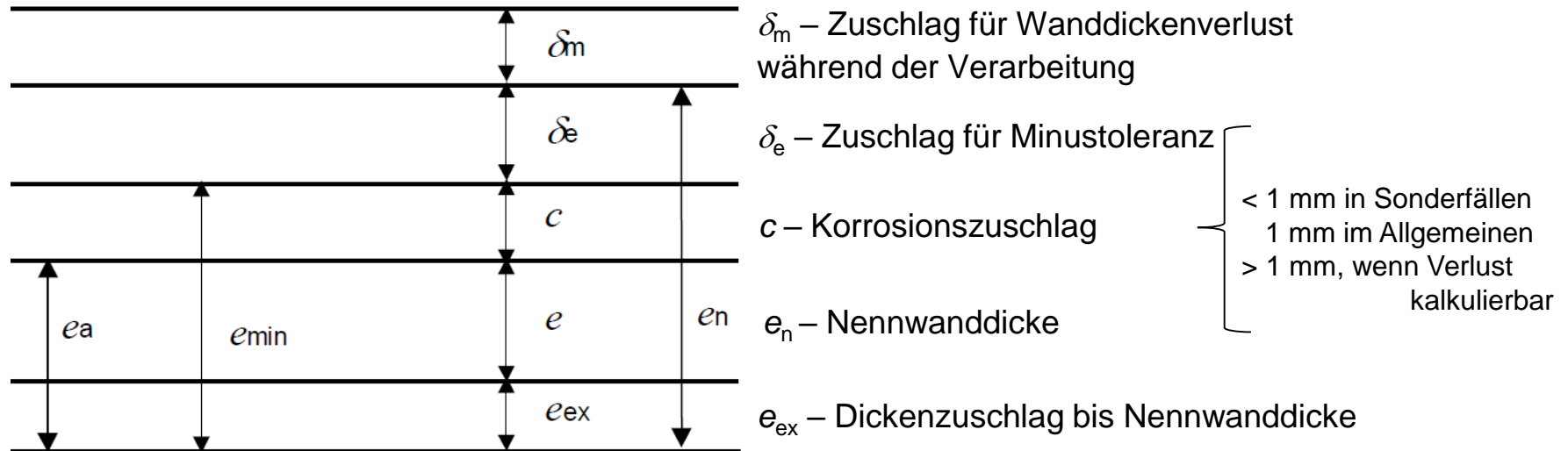
$$S_k = 2,25 + 0,5u$$

Computergestützte numerische Methoden

- FEM Berechnungen → präzise Nachbildung der Geometrie
- Optimierung der Geometrie am Computer möglich

2.1 - Modellbildung und Festigkeitsnachweis

Auslegung und Sicherheiten – Toleranzen und Zuschläge



Toleranzen Tolérances

EN 10029
(DIN 1543)

e_a – Berechnungswanddicke

e_{min} –
Mindestfertigungsdicke

Dicke <i>Epaisseur</i>	Dicke <i>Epaisseur</i> mm	Abweichung <i>Déviaton</i>	Unterschied grösste/kleinste Dicke derselben Platte Différence D'épaisseur max./min. de la même tôle			
		Klasse A mm	Breite / largeur			
			< 2000	≥ 2000 < 2500	≥ 2500 < 3000	3000
	3 - 4,9	+ 0,8 / - 0,4	0,8	0,9	0,9	-
	5 - 7,9	+ 1,1 / - 0,4	0,9	0,9	1,0	1,0
	8 - 14,9	+ 1,2 / - 0,5	0,9	1,0	1,0	1,1
	15 - 25	+ 1,3 / - 0,6	1,0	1,1	1,2	1,2
	25 - 39	+ 1,4 / - 0,8	1,1	1,2	1,2	1,3

2.1 - Modellbildung und Festigkeitsnachweis

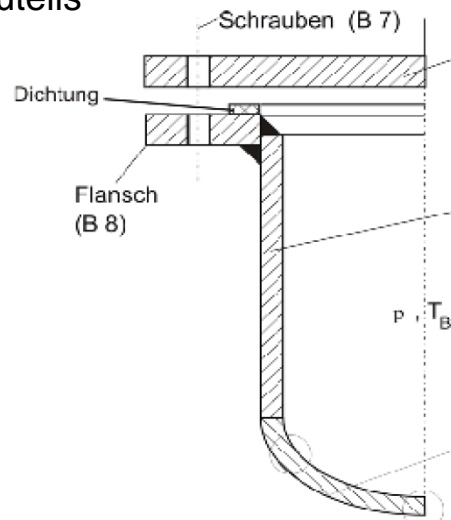
Vorgehen bei der Modellbildung

Design by Rule (DbR)

- Zerlegen in Apparateelemente
- Hauptlastgröße: p (quasistatisch)
- Lokale Spannungsspitzen bleiben unberücksichtigt
- Maßgeblich für zulässigen

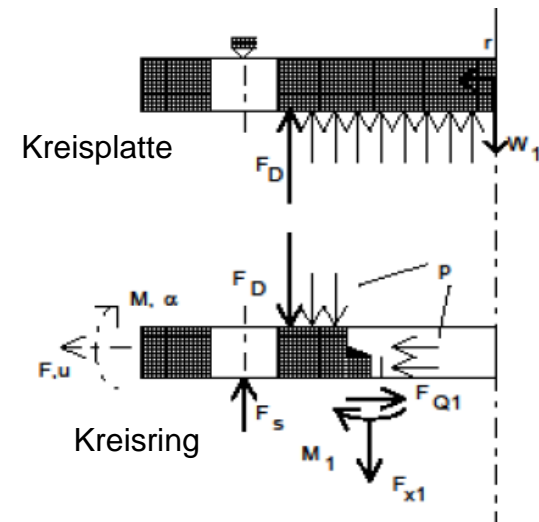
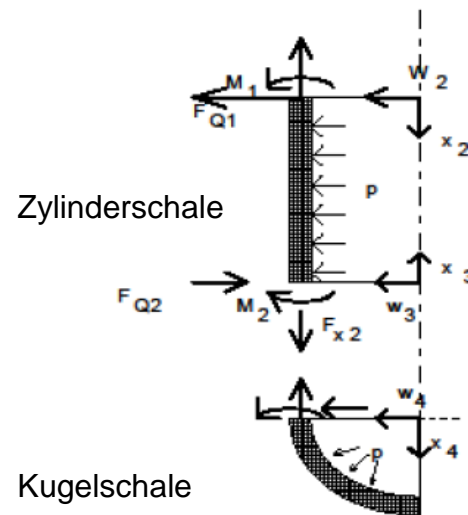
Betriebsdruck:

- Geringster Berechnungsdruck eines Bauteils



Design by Analysis (DbA)

- Zerlegen in mechanische Strukturen (Ring, Schale, Scheibe,...)
- Freischneiden der Strukturen
- Kompatibilität der Strukturen durch Übergangsbedingungen
- Alle Lasten können berücksichtigt werden



2.1 - Modellbildung und Festigkeitsnachweis

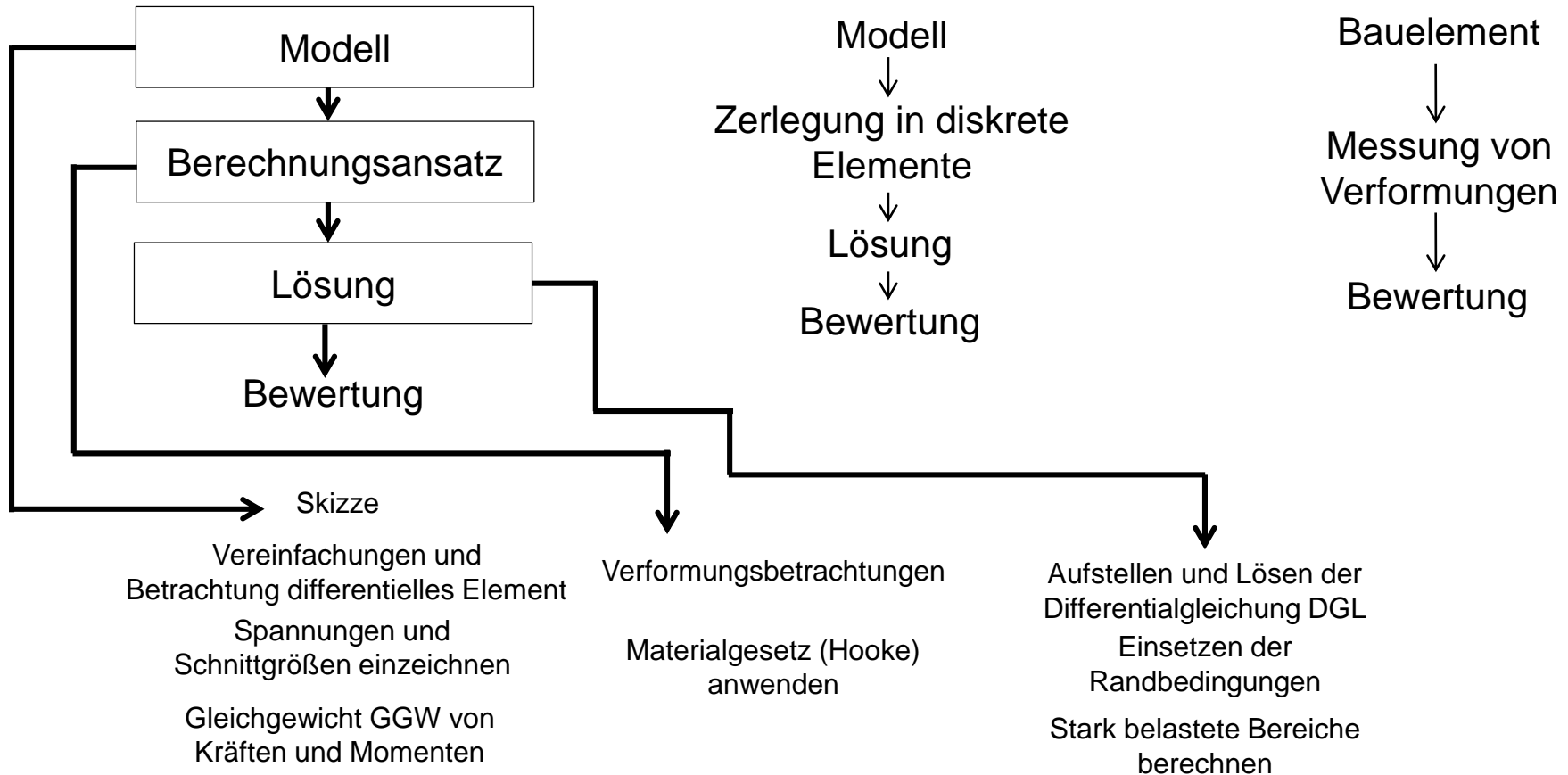
Vorgehen bei der Modellbildung

Design by Analysis (DbA)

Analytische Methoden

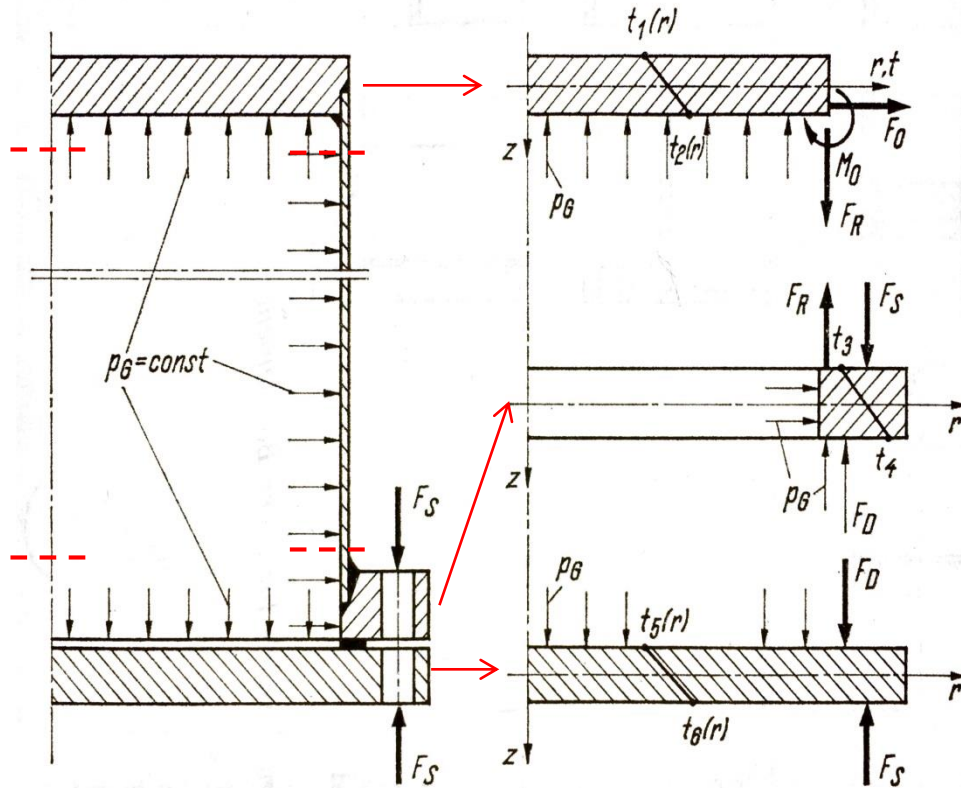
Numerische Methoden (FEM, BEM)

Experimentelle Methoden



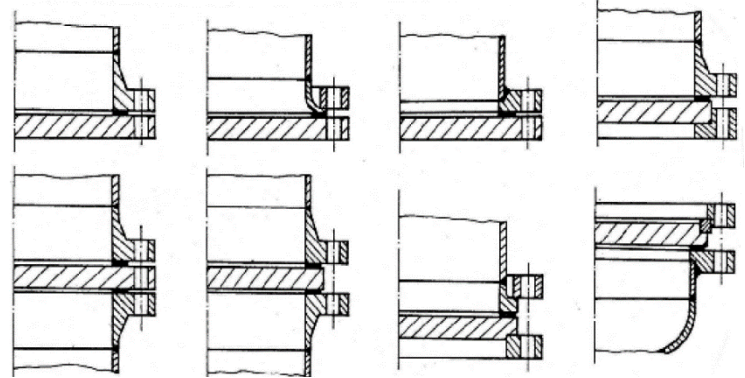
2.2 - Ebene rotationssymmetrische Apparateelemente

Einfache Belastungsfälle ebener Apparateelemente



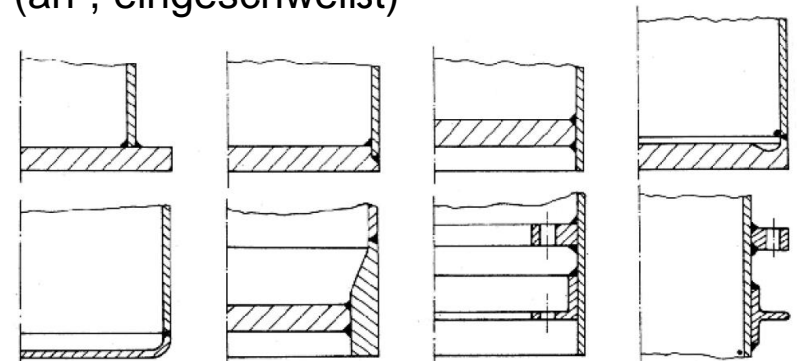
Lösbare Konstruktionen

(an-, aufgeschraubt, eingeklemmt)



Feste Konstruktionen

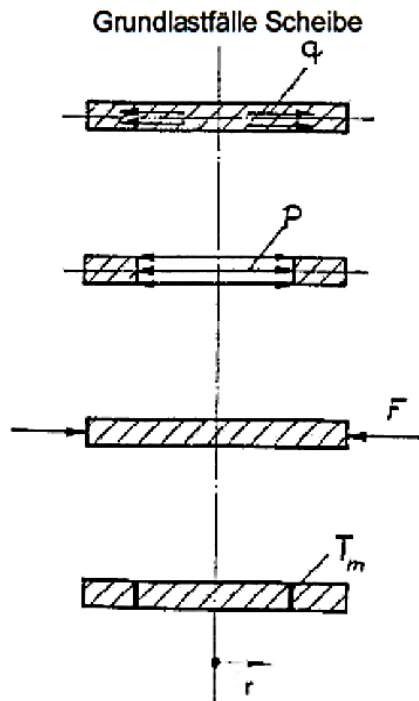
(an-, eingeschweißt)



2.2 - Ebene rotationssymmetrische Apparateelemente

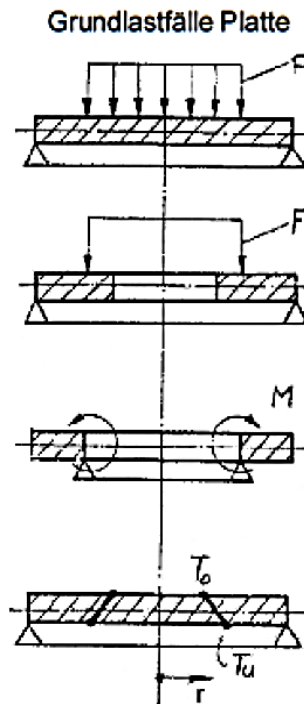
Kreisscheibe:

Flächentragwerk, dessen Mittelfläche nur gedehnt bzw. gestaucht wird



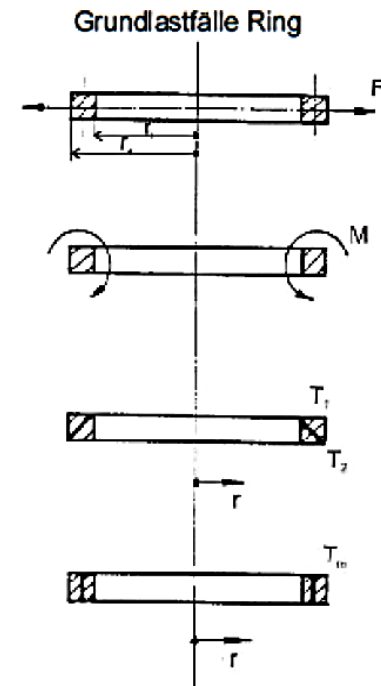
Kreisplatte:

Flächentragwerk, dessen Mittelfläche gekrümmt/gebogen, aber nicht gedehnt (gestaucht) wird



Kreisring:

aufgrund von $\frac{r_a}{r_i} \leq 1,25$ stellt sie eine vereinfachte Form der Kreisringplatte dar



2.2 - Ebene rotationssymmetrische Apparateelemente

Die Kreisscheibe

Modell

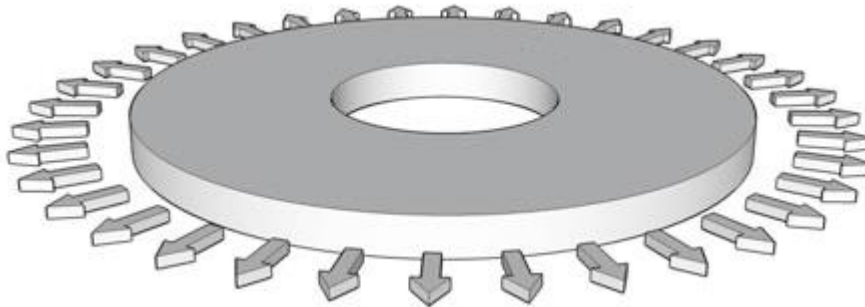
Berechnung

Lösung

Annahmen und Skizze

Annahmen:

1. Radiale Verschiebung $u(r)$ beliebiger Querschnittspunkte ist klein im Vergleich zur Scheibendicke e
2. $e = \text{konst.}$ über den Radius r
3. Ebener Spannungszustand wird angenommen



2.2 - Ebene rotationssymmetrische Apparateelemente

Die Kreisscheibe

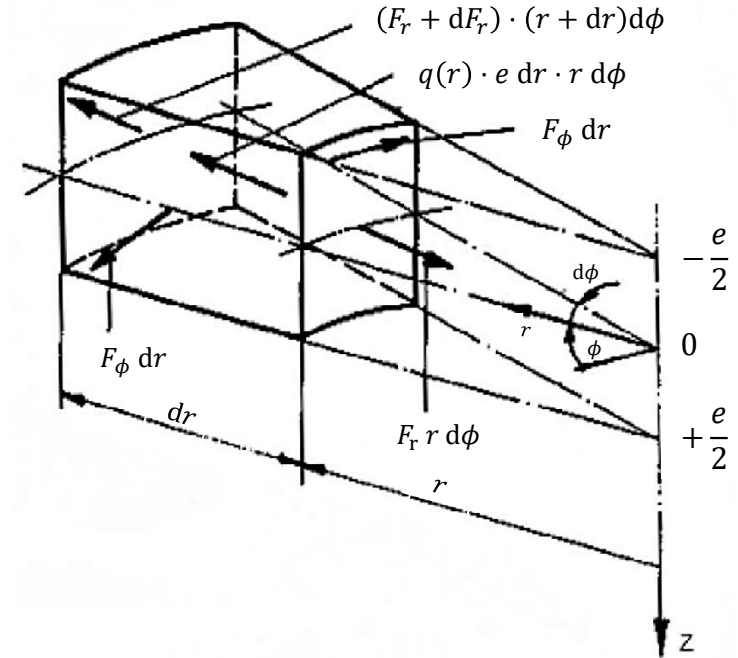
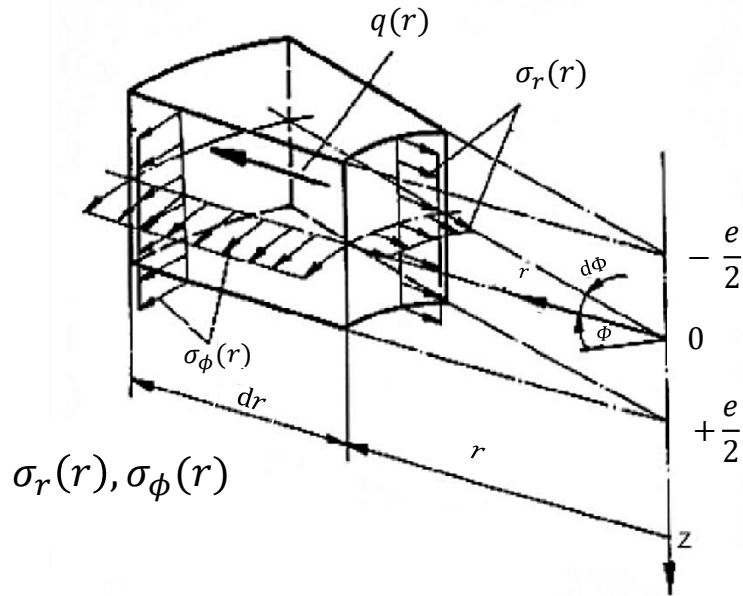
Spannungen und Schnittgrößen

Modell

Berechnung

Lösung

Spannungen und Schnittgrößen



$$F_r = \int_{-e/2}^{e/2} \sigma_r dz = \sigma_r \cdot e$$

$$F_\phi = \int_{-e/2}^{e/2} \sigma_\phi dz = \sigma_\phi \cdot e$$

(S1)

für differentielle Elemente:

<https://www.youtube.com/watch?v=7VMsSM5mAX0>

2.2 - Ebene rotationssymmetrische Apparateelemente

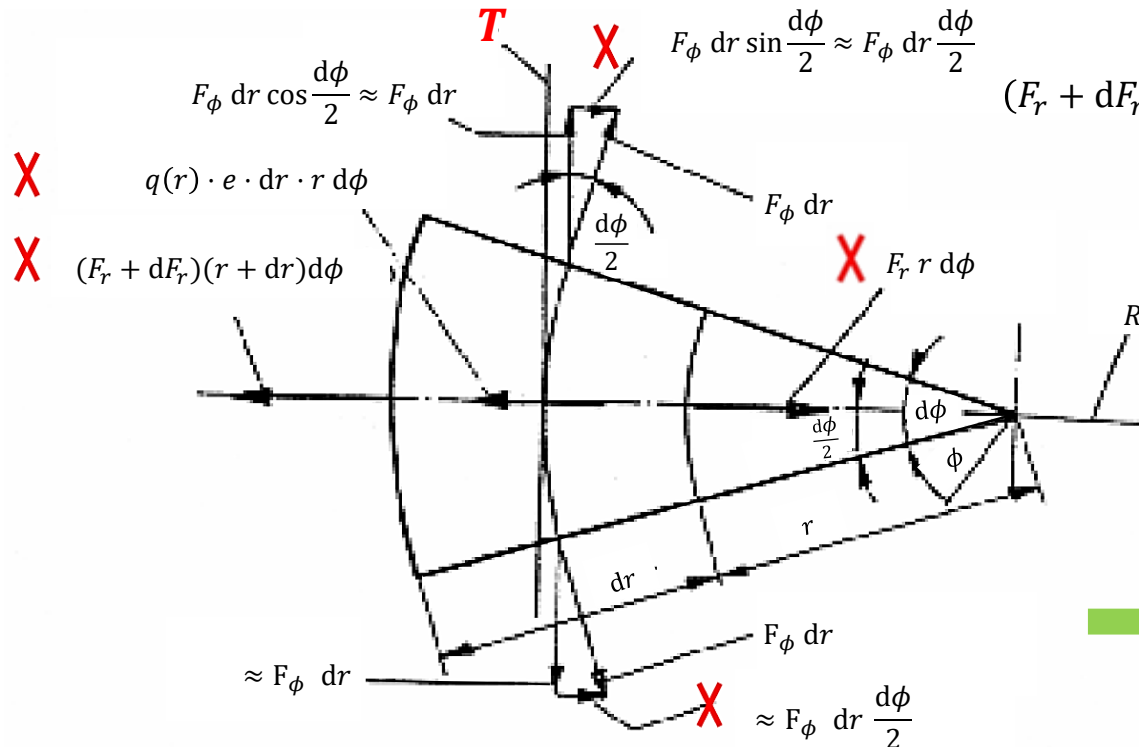
Die Kreisscheibe

Modell

Berechnung

Lösung

GGW Betrachtungen



$$(F_r + dF_r)(r + dr) = F_r r + r \cdot dF_r + F_r dr + dF_r r \approx 0$$

Produktregel

$$(F_r + dF_r)(r + dr) = r F_r + \frac{d(F_r \cdot r)}{dr} dr$$

$$\Sigma F_r = 0$$

$$\frac{d}{dr}(F_r \cdot r) - F_\phi + q(r) e \cdot r = 0 \quad (S2)$$

2.2 - Ebene rotationssymmetrische Apparateelemente

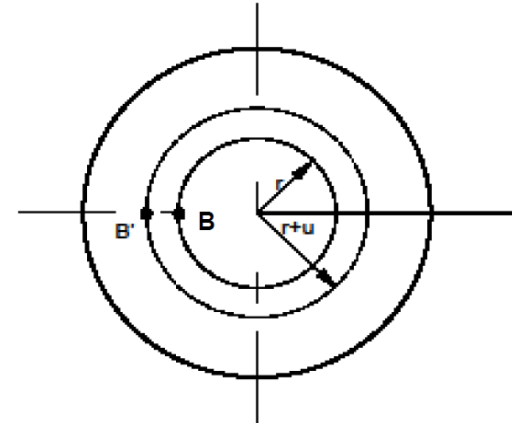
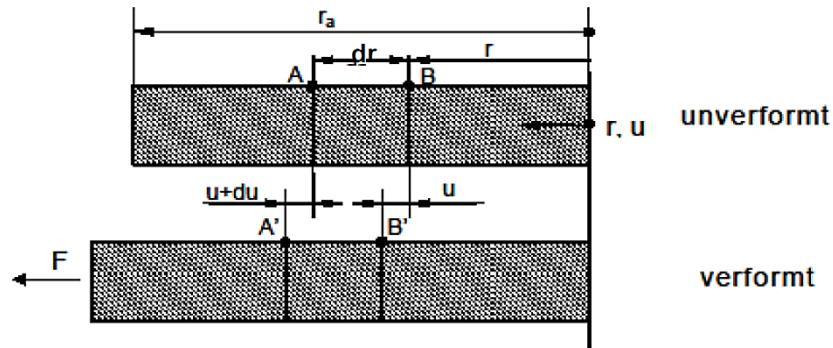
Die Kreisscheibe

Modell

Berechnung

Lösung

Verformung + Hooke



$$\varepsilon_r = \frac{\overline{A'B'} - \overline{AB}}{\overline{AB}} = \frac{(u + du) + dr - u - dr}{dr} = \frac{du}{dr} \quad (\text{S3})$$

$$\varepsilon_\phi = \frac{2\pi(r + u) - 2\pi r}{2\pi r} = \frac{u}{r} \quad (\text{S4})$$

Hooke'sches Gesetz

$$\sigma_r = \frac{F_r}{e} = \frac{E}{1 - \nu^2} \cdot (\varepsilon_r + \nu \varepsilon_\phi) = \frac{E}{1 - \nu^2} \left(\frac{du}{dr} + \nu \frac{u}{r} \right)$$

$$\sigma_\phi = \frac{F_\phi}{e} = \frac{E}{1 - \nu^2} \cdot (\varepsilon_\phi + \nu \varepsilon_r) = \frac{E}{1 - \nu^2} \left(\frac{u}{r} + \nu \frac{du}{dr} \right)$$

(S2)

+

(S4)

DGL:

$$\frac{d^2 u}{dr^2} + \frac{1}{r} \frac{du}{dr} - \frac{u}{r^2} = \frac{d}{dr} \left[\frac{1}{r} \frac{d}{dr} (u \cdot r) \right] = -q(r) \frac{1 - \nu^2}{E}$$

(S5)

2.2 - Ebene rotationssymmetrische Apparateelemente

Die Kreisscheibe

Modell

Berechnung

Lösung

Lösung der DGL

$$\frac{d}{dr} \left[\frac{1}{r} \frac{d}{dr} (u \cdot r) \right] = -q(r) \frac{1 - \nu^2}{E}$$



linear, 2. Ordnung, inhomogen

- Allgemeiner Lösungsansatz

$$u = u_h + u_p$$

- Homogene Lösung

$$\frac{d}{dr} \left[\frac{1}{r} \frac{d}{dr} (u_h \cdot r) \right] = 0 \quad \longrightarrow \quad u_h = C_1 r + \frac{1}{r} C_2$$

- Partikuläre Lösung

$$\frac{d}{dr} \left[\frac{1}{r} \frac{d}{dr} (u_p \cdot r) \right] = -q(r) \frac{1 - \nu^2}{E} \quad \longrightarrow \quad \text{Randbedingungen}$$

mit $q(r)$ = Volumenkraft (z.B. Gewichts- oder Zentrifugalkraft)

2.2 - Ebene rotationssymmetrische Apparateelemente

Die Kreisscheibe

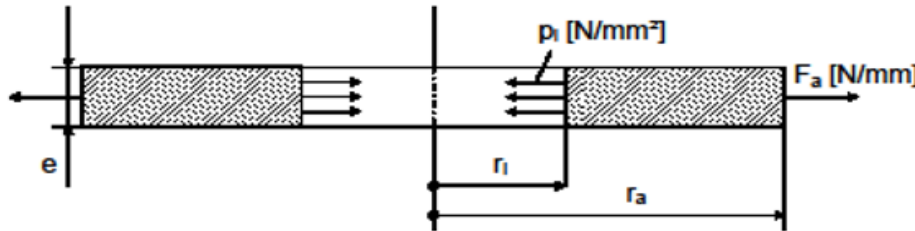
Modell

Berechnung

Lösung

Randbedingungen

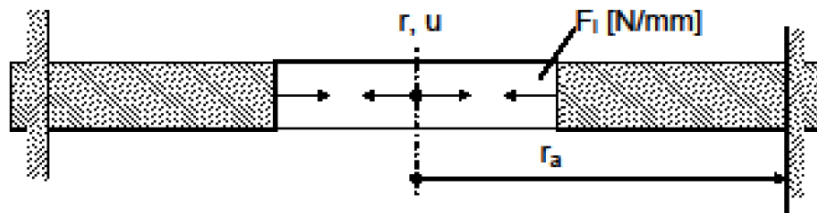
Scheibe mit Randkräften:



$$r = r_i \rightarrow \sigma_r = p_i$$

$$r = r_a \rightarrow \sigma_r = \frac{F_a}{e}$$

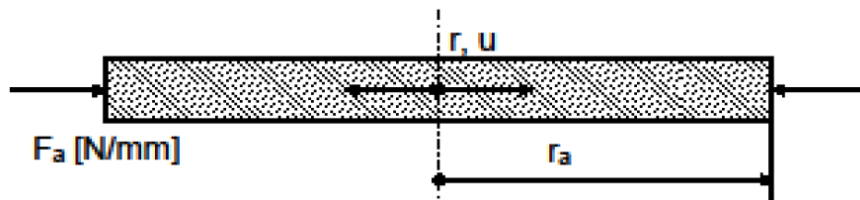
Außen starrer Rand und Kraft innen:



$$r = r_a \rightarrow u = 0$$

$$r = r_i \rightarrow \sigma_r = \frac{F_i}{e}$$

Volle Scheibe mit Randkraft



$$r = r_a \rightarrow \sigma_r = -\frac{F_a}{e}$$

$$r = 0 \rightarrow u = 0 \rightarrow C_2 = 0$$


2.2 - Ebene rotationssymmetrische Apparateelemente

Die Kreisscheibe

Zusammenfassung

- Keine Spannungen senkrecht zur Scheibenmittelfläche
- Lineare Theorie (kleine Verformungen):
Platte und Scheibe können getrennt betrachtet werden
Große Verformungen: Verknüpfung der DGLn

$$\frac{d}{dr} \left[\frac{1}{r} \frac{d}{dr} (u \cdot r) \right] = -q(r) \frac{1 - \nu^2}{E}$$


$$u = u_p + C_1 \cdot r + \frac{1}{r} C_2$$

Spannungen:

$$\sigma_r = \frac{F_r}{e} = \frac{E}{1 - \nu^2} \left(\frac{du}{dr} + \nu \frac{u}{r} \right)$$

$$\sigma_\phi = \frac{F_\phi}{e} = \frac{E}{1 - \nu^2} \left(\frac{u}{r} + \nu \frac{du}{dr} \right)$$

2.2 - Ebene rotationssymmetrische Apparateteile

Quiz

- Annahmen zur Modellierung einer Scheibe
- Toleranzen eines technischen Bauteils

in Moodle

2.2 - Ebene rotationssymmetrische Apparateelemente

Die dünne Kreisplatte (Kirchhoff'sche Platte)

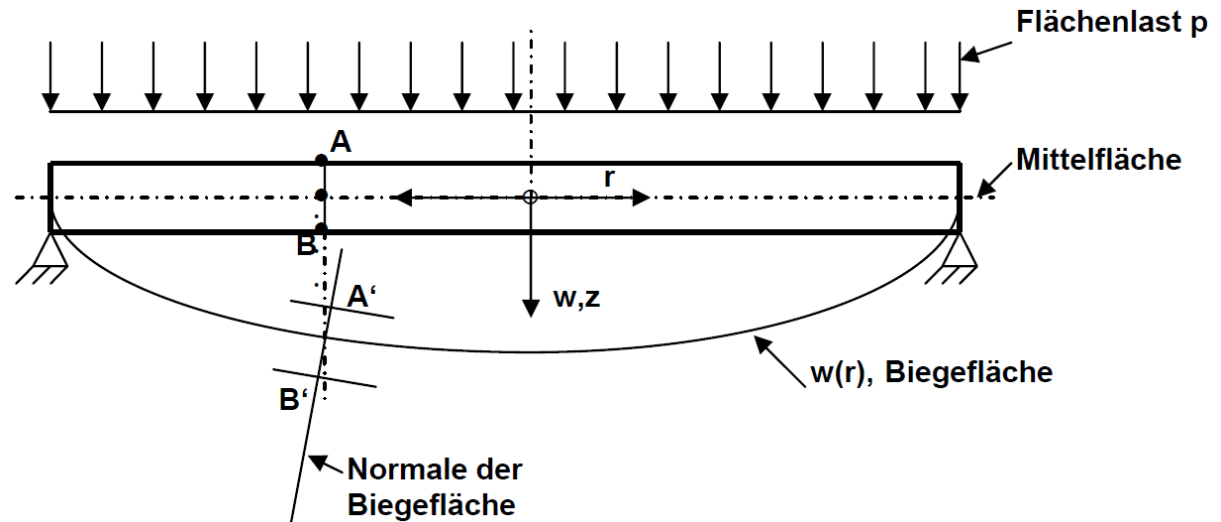
Modell

Berechnung

Lösung

Annahmen:

1. Plattendicke $e \ll r_a$ Außenradius
2. $e = \text{konst.}$ über den Radius
3. Normalspannung σ_z , senkrecht zur Plattenoberfläche ist vernachlässigbar
4. Durchbiegung w ist klein im Vergleich zu e
5. Elastische Verformung



2.2 - Ebene rotationssymmetrische Apparateelemente

Die dünne Kreisplatte (Kirchhoff'sche Platte)

Modell

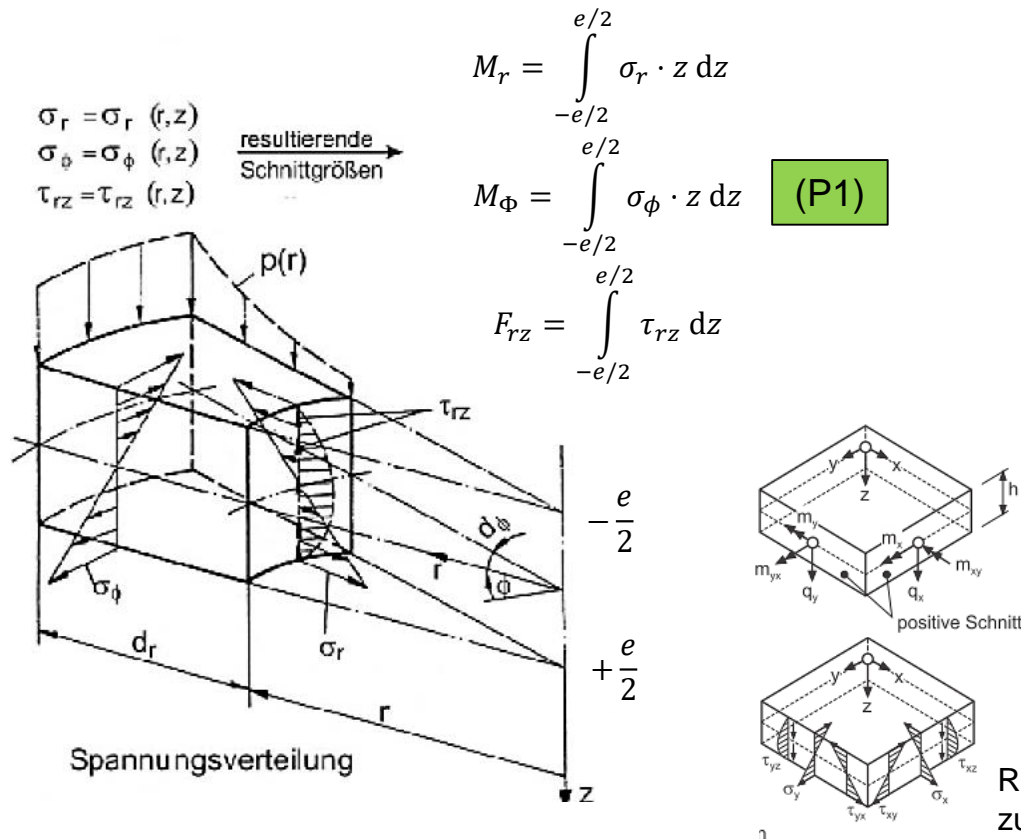
Berechnung

Lösung

Spannungszustand und Schnittgrößen

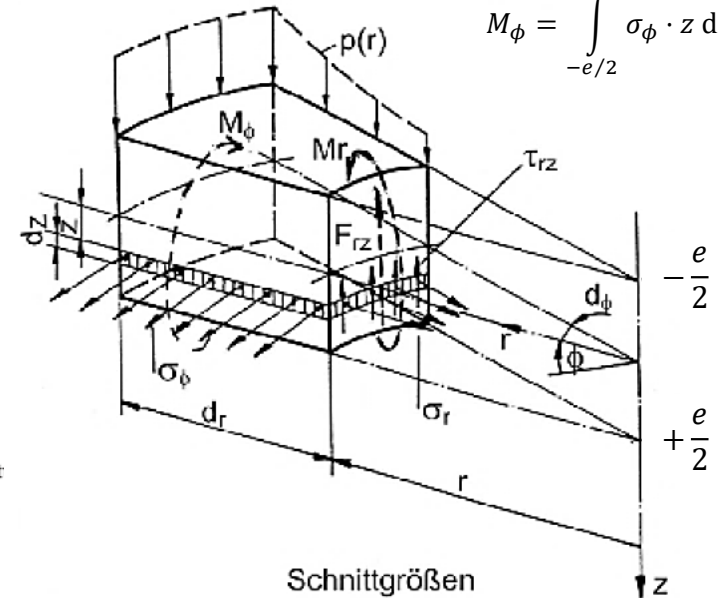
Annahmen:

$p = p(r) \rightarrow$ rotationssymmetrische Belastung
 \rightarrow rotationssymmetrischer Spannungszustand



z.B. $dM_\phi dr = \sigma_\phi dr dz \cdot z$

$$M_\phi = \int_{-e/2}^{e/2} \sigma_\phi \cdot z \, dz$$



2.2 - Ebene rotationssymmetrische Apparateelemente

Die dünne Kreisplatte (Kirchhoff'sche Platte)

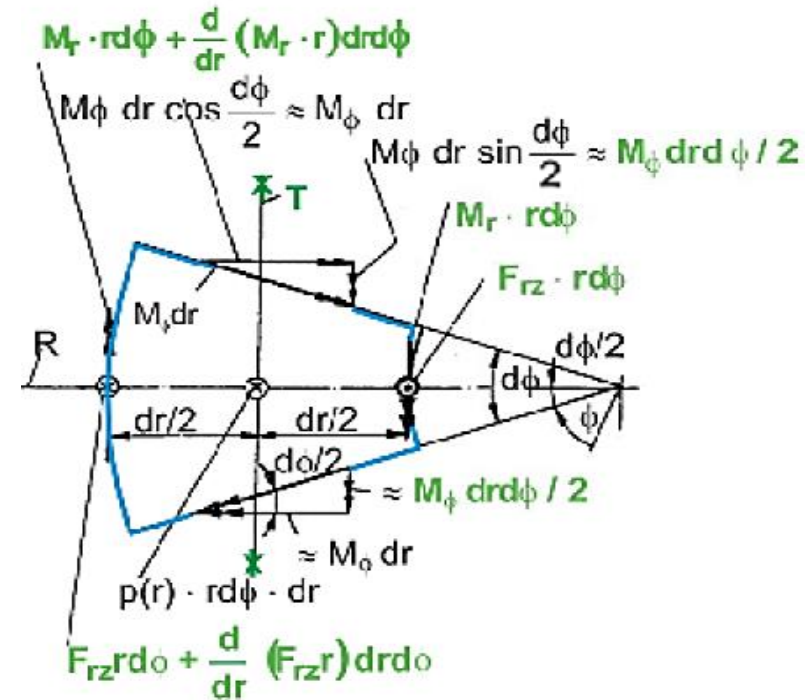
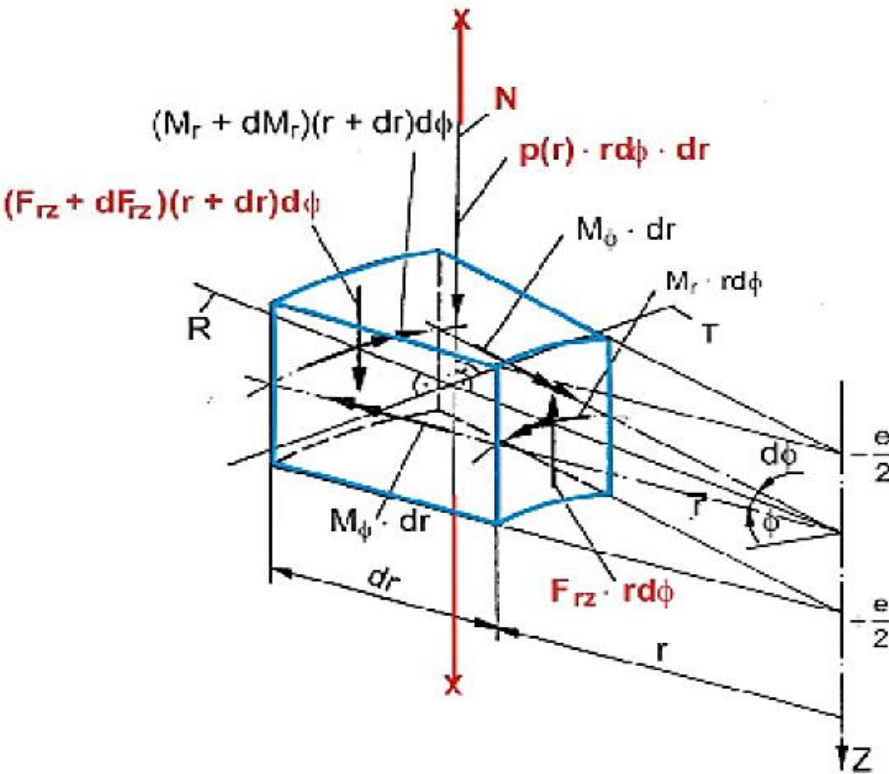
Gleichgewichtsbetrachtung

Modell

Berechnung

Lösung

Spannungszustand und Schnittgrößen



Kräfte: $\sum F_N = 0 \rightarrow \frac{d}{dr} (F_{rz} \cdot r) + r \cdot p(r) = 0$ (P2)

Momente: $\sum M_T = 0 \rightarrow \frac{d}{dr} (M_r \cdot r) - M_\phi - F_{rz} r = 0$ (P3)

für P(2) und P(3): $F_{rz} = -\frac{1}{r} \int_0^r p(r) r dr + C$

2.2 - Ebene rotationssymmetrische Apparateelemente

Die dünne Kreisplatte (Kirchhoff'sche Platte)

Gleichgewichtsbetrachtung

Modell

Berechnung

Lösung

Spannungszustand und Schnittgrößen

1. Differentieller Zuwachs in Radiusrichtung

$$(M_r + dM_r)(r + dr) = M_r \cdot r + r \cdot dM_r + M_r dr + dM_r \cdot dr \quad \nearrow \approx 0$$

$$\rightarrow (M_r + dM_r)(r + dr) = M_r \cdot r + \frac{d(M_r \cdot r)}{dr} dr$$

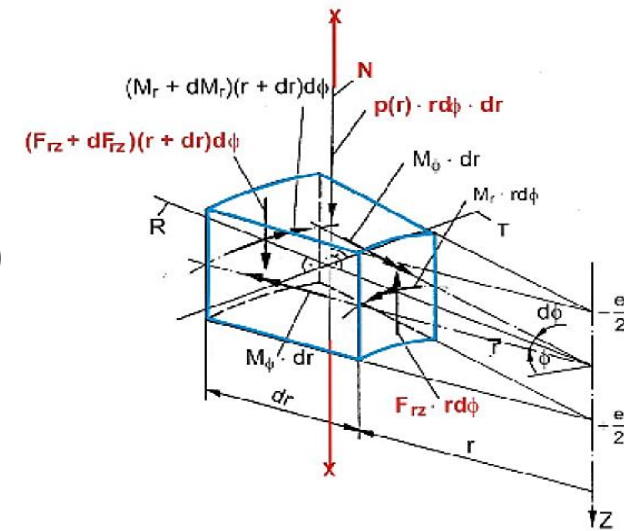
$$(F_{rz} + dF_{rz})(r + dr) = F_{rz} \cdot r + \frac{d(F_{rz} \cdot r)}{dr} dr$$

2. GGW gegen Verschieben (X)

- GGW-Beziehungen mit bezugsfesten Größen

$$-F_{rz} \cdot r d\phi + F_{rz} \cdot r d\phi + \frac{d(F_{rz} \cdot r)}{dr} dr d\phi + p(r)r d\phi \cdot dr = 0$$

$$\rightarrow \frac{d}{dr}(F_{rz} \cdot r) + p(r) \cdot r = 0 \quad \text{(P2)}$$



2.2 - Ebene rotationssymmetrische Apparateelemente

Die dünne Kreisplatte (Kirchhoff'sche Platte)

Modell

Berechnung

Lösung

Spannungszustand und Schnittgrößen

3. GGW gegen Verdrehen um Tangente T ($\sum M_{it} = 0$) (X)

$$-M_r r d\phi + M_r r d\phi + \frac{d(M_r \cdot r)}{dr} dr \cdot d\phi - 2M_\phi \cdot dr \cdot \frac{d\phi}{2} - F_{rz} \cdot r d\phi \cdot \frac{dr}{2} - F_{rz} r d\phi \frac{dr}{2} - \frac{d}{dr} (F_{rz} \cdot r) dr \cdot d\phi \cdot \frac{dr}{2} = 0$$

≈ 0

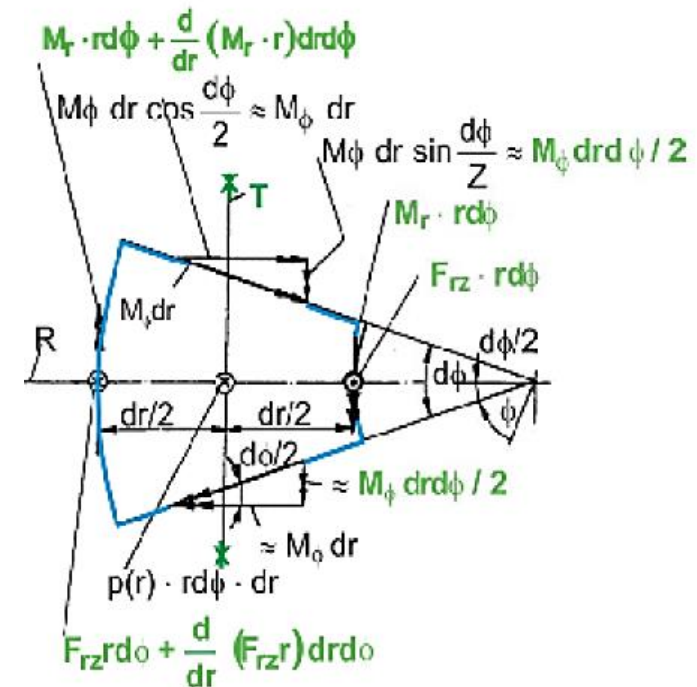
$$\rightarrow \frac{d}{dr} (M_r \cdot r) - M_\phi - F_{rz} r = 0 \quad \text{(P3)}$$



2 Gleichungen: P2 und P3

3 Unbekannte: F_{rz} , M_r , M_ϕ

Ansatz: Verformungsbetrachtung inkl. Hooke'sches Gesetz



2.2 - Ebene rotationssymmetrische Apparateteile

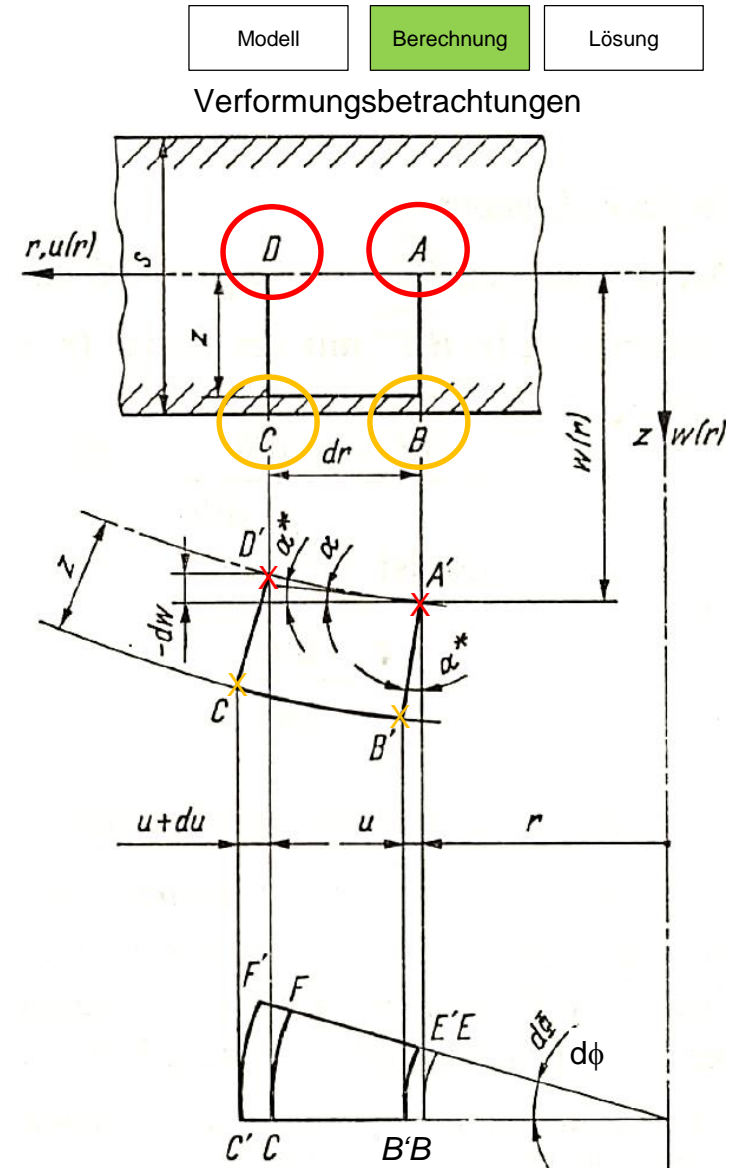
Die dünne Kreisplatte (Kirchhoff'sche Platte)

→ Rotationssymmetrische Belastung führt zur rotationssymmetrischen Verschiebung von Punkten der Plattenmittelfläche in z-Richtung (Durchbiegung $w(r)$) **A, D**

→ Verschiebung $\mathbf{u}(\mathbf{r})$ der Punkte außerhalb der Plattenmittelfläche in Radiusrichtung **B, C**

Mit Hilfe der Verformungsbetrachtung werden definiert:

- Radiale Dehnung ε_r
- Umfangsdehnung ε_ϕ



2.2 - Ebene rotationssymmetrische Apparateelemente

Die dünne Kreisplatte (Kirchhoff'sche Platte)

Für kleines $w(r)$ und dr gilt:

$$\tan \alpha = -\frac{dw}{dr} \approx \alpha$$

$$\rightarrow \alpha = -\frac{dw}{dr}$$

(P4)

$$\sin \alpha = \frac{u}{z} \approx \alpha$$

$$\rightarrow u = -z \frac{dw}{dr}$$

(P5)

Radiale Dehnung ε_r

$$\varepsilon_r = \frac{\overline{C'B'} - \overline{CB}}{\overline{CB}} = \frac{dr + (u + du) - u - dr}{dr} = \frac{du}{dr}$$

$$\varepsilon_r = -z \frac{d^2w}{dr^2}$$

(P6)

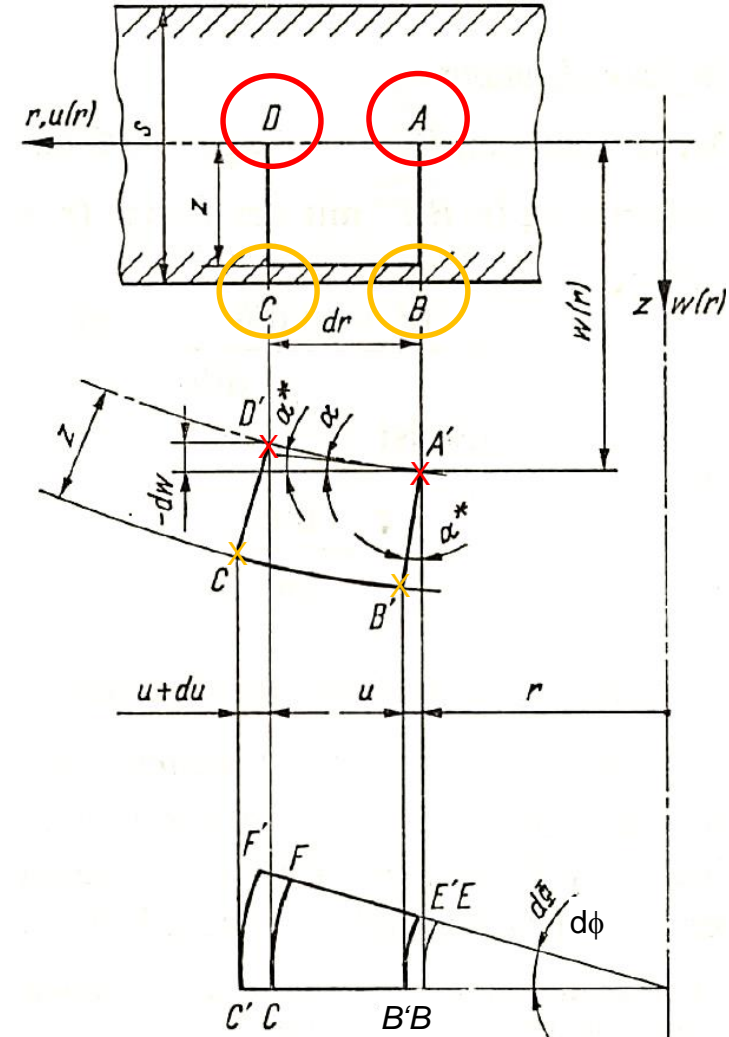
Umfangsdehnung ε_ϕ

$$\varepsilon_\phi = \frac{\widehat{B'E'} - \widehat{BE}}{\widehat{BE}} = \frac{(r + u)d\phi - rd\phi}{rd\phi} = \frac{u}{r}$$

$$\varepsilon_\phi = -\frac{z}{r} \frac{dw}{dr}$$

(P7)

Verformungsbetrachtungen



2.2 - Ebene rotationssymmetrische Apparateelemente

Die dünne Kreisplatte (Kirchhoff'sche Platte)

Modell

Berechnung

Lösung

Hooke'sches Gesetz

Hooke'sches Gesetz für den ebenen Spannungszustand (2-achsig)

in radial und Umfangsrichtung



$$\sigma_r = \frac{E}{1-\nu^2} (\varepsilon_r + \nu \cdot \varepsilon_\phi)$$



$$\sigma_\phi = \frac{E}{1-\nu^2} (\varepsilon_\phi + \nu \cdot \varepsilon_r)$$

+

(P6)

(P7)



$$\sigma_r = -\frac{Ez}{1-\nu^2} \left(\frac{d^2w}{dr^2} + \frac{\nu}{r} \frac{dw}{dr} \right)$$

$$\sigma_\phi = -\frac{Ez}{1-\nu^2} \left(\frac{1}{r} \frac{dw}{dr} + \nu \frac{d^2w}{dr^2} \right)$$

(P8)

(P8)

einsetzen in (P1)

$$M_r = \int_{-e/2}^{e/2} \sigma_r \cdot z \, dz = -\frac{E}{1-\nu^2} \left(\frac{d^2w}{dr^2} + \frac{\nu}{r} \frac{dw}{dr} \right) \int_{-e/2}^{e/2} z^2 \, dz = -\left(\frac{E}{1-\nu^2} \frac{d^2w}{dr^2} + \frac{\nu}{r} \frac{dw}{dr} \right) \left[\frac{z^3}{3} \right]_{-e/2}^{e/2} = \dots \left[\frac{e^3}{12} \right]$$

Mit: $B = \frac{Ee^3}{12(1-\nu^2)}$ Biegesteifigkeit der Platte:

$$M_r = -B \left(\frac{d^2w}{dr^2} + \frac{\nu}{r} \frac{dw}{dr} \right) \quad (P9)$$

2.2 - Ebene rotationssymmetrische Apparateelemente

Die dünne Kreisplatte (Kirchhoff'sche Platte)

Modell

Berechnung

Lösung

Hooke'sches Gesetz

$$M_\phi = \int_{-e/2}^{e/2} \sigma_\phi \cdot z \, dz = -\frac{E}{1-\nu^2} \left(\frac{1}{r} \frac{dw}{dr} + \nu \frac{d^2w}{dr^2} \right) \int_{-e/2}^{e/2} z^2 dz$$

$$M_\phi = -B \left(\frac{1}{r} \frac{dw}{dr} + \nu \frac{d^2w}{dr^2} \right) \quad \text{(P10)}$$

(P9)

(P10)

in GGW Beziehung (P3)

$$-B \left[\frac{d^3w}{dr^3} \cdot r + \frac{d^2w}{dr^2} + \nu \cdot \frac{d^2w}{dr^2} - \frac{1}{r} \frac{dw}{dr} - \nu \frac{d^2w}{dr^2} \right] - F_{rz} \cdot r = 0$$

$$\frac{d^3w}{dr^3} + \frac{1}{r} \frac{d^2w}{dr^2} - \frac{1}{r^2} \frac{dw}{dr} = -\frac{F_{rz}}{B}$$

Kreisplatten DGL

$$\frac{d}{dr} \left[\frac{1}{r} \frac{d}{dr} \left(r \frac{dw}{dr} \right) \right] = -\frac{F_{rz}}{B}$$

Vergleich von P8, P9 und P10 liefert für $z = \pm \frac{e}{2}$

$$\sigma_r = \pm \frac{6M_r}{e^2}$$

$$\sigma_\phi = \pm \frac{6M_\phi}{e^2}$$

$$\tau_{rz} = \frac{3F_{rz}}{2e} \left(1 - \frac{4z^2}{e^2} \right) = 0$$

$$\tau_{rzm} = \frac{F_{rz}}{e}$$

2.2 - Ebene rotationssymmetrische Apparateelemente

Die dünne Kreisplatte (Kirchhoff'sche Platte)

Modell

Berechnung

Lösung

Partikuläre und homogene Lsg.

$$\frac{d}{dr} \left[\frac{1}{r} \frac{d}{dr} \left(r \frac{dw}{dr} \right) \right] = - \frac{F_{rz}}{B}$$

DGL für Kreisplatte: linear, 3. Ordnung, inhomogen
 w_h und w_p getrennt ermitteln w_p aus Querkraftverlauf ableiten

Homogene Lösung

$$w = w_h + w_p$$

Partikuläre Lösung

$$\frac{d}{dr} \left[\frac{1}{r} \frac{d}{dr} \left(r \frac{dw_h}{dr} \right) \right] = 0$$

$$\frac{1}{r} \frac{d}{dr} () = a_1^* \rightarrow \frac{d}{dr} () = a_1^* r$$

$$r \frac{dw_h}{dr} = a_1^* \cdot \frac{r^2}{2} + a_2 \rightarrow \frac{dw_h}{dr} = a_1^* \cdot \frac{r}{2} + a_2 \frac{1}{r}$$

$$w_h = a_1^* \cdot \frac{r^2}{4} + a_2 \ln(r) + a_3$$

$$w_h = a_1 r^2 + a_2 \ln(r) + a_3 \quad \text{mit} \quad \frac{a_1^*}{4} = a_1$$

$$\frac{d}{dr} \left[\frac{1}{r} \frac{d}{dr} \left(r \frac{dw_p}{dr} \right) \right] = - \frac{F_{rz}}{B}$$

$F_{r,z}(r)$ = Querkraftverlauf, muss für konkreten Lastfall ermittelt werden

2.2 - Ebene rotationssymmetrische Apparateelemente

Die dünne Kreisplatte (Kirchhoff'sche Platte)

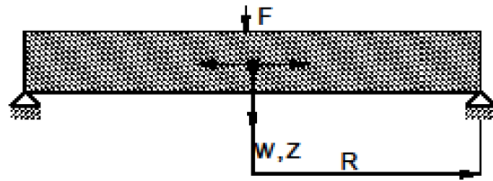
Modell

Berechnung

Lösung

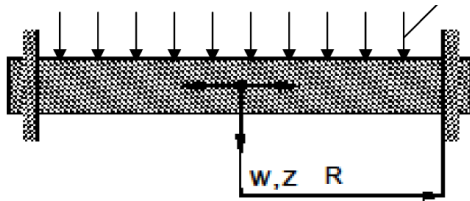
Rand- + Übergangsbedingungen

Drehbarer Plattenrand:

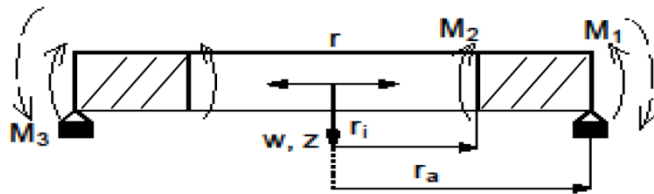


$$\begin{aligned} r = R &\rightarrow w = 0 \\ M_r &= 0 \\ r = 0 &\rightarrow w \rightarrow \text{endlich} \\ \text{bzw.} \\ \frac{dw}{dr} &= 0 \quad \curvearrowright \quad a_2 = 0 \end{aligned}$$

Starre Einspannung:



$$\begin{aligned} r = R &\rightarrow w = 0 \\ \frac{dw}{dr} &= 0 \\ a_2 &= 0 \text{ (s.o.)} \end{aligned}$$



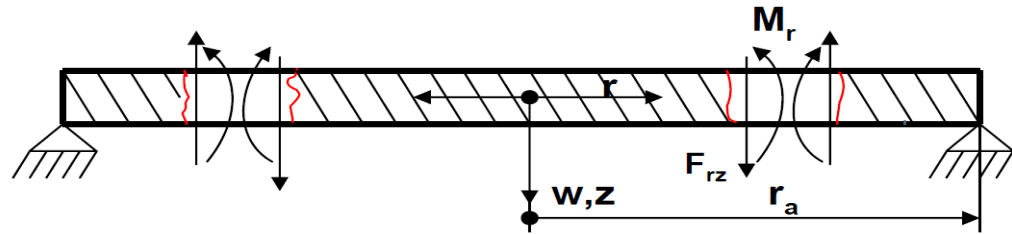
	Fall 1 (M_1, M_2)	Fall 2 (M_2, M_3)
$r = r_i \rightarrow$	$M_r = M_2$	$M_r = M_2$
$r = r_a \rightarrow$	$M_r = M_1$	$(M_r = -M_3)$
	$w = 0$	$w = 0$

2.2 - Ebene rotationssymmetrische Apparateelemente

Die dünne Kreisplatte (Kirchhoff'sche Platte)

Zusammenfassung

- Zuordnung Koordinatensystem / Schnittgrößen



- Aufstellen der DGL

$$\frac{d}{dr} \left[\frac{1}{r} \frac{d}{dr} \left(r \frac{dw}{dr} \right) \right] = - \frac{F_{rz}}{B} \quad B = \frac{E e^3}{12(1 - \nu^2)}$$

$$w = w_p + a_1 r^2 + a_2 \ln r + a_3$$

- Momente $\rightarrow M_\phi = -B \left(\frac{1}{r} \frac{dw}{dr} + \nu \frac{d^2 w}{dr^2} \right) \quad M_r = -B \left(\frac{d^2 w}{dr^2} + \frac{\nu}{r} \frac{dw}{dr} \right)$

- Spannungen $\rightarrow \sigma_r = \pm \frac{6M_r}{e^2} \quad \sigma_\phi = \pm \frac{6M_\phi}{e^2} \quad \tau_{rz} = \frac{3F_{rz}}{2e} \left(1 - \frac{4z^2}{e^2} \right) = 0 \quad \tau_{rzm} = \frac{F_{rz}}{e}$

2.2 - Ebene rotationssymmetrische Apparateelemente

Der Kreisring

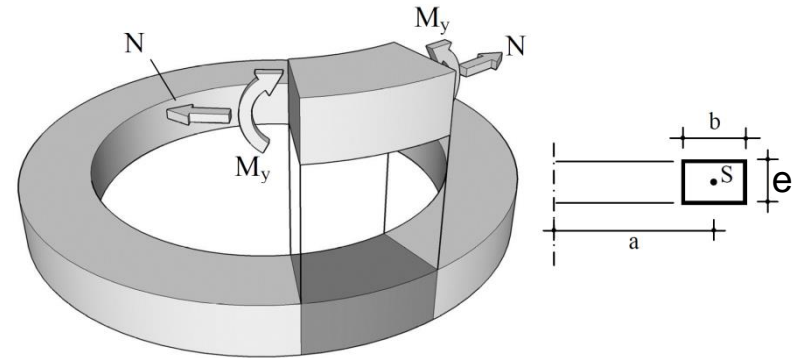
Modell

Berechnung

Lösung

Annahmen und Skizze

1. Radienverhältnis $1 < \frac{r_a}{r_i} \leq 1,25$ und annähernd quadratischer Querschnitt
2. Alle übrigen Spannungen gegenüber σ_ϕ vernachlässigbar
3. Verformungen sind die radiale Verschiebung „ u “ und „ d “ sowie Verdrehwinkel α
4. Allen Punkten des Querschnitts werden gleiche Verformungen und Spannungen zugeordnet, wobei die Größen auf den Kreis durch den Flächenschwerpunkt bezogen werden.



Rotationssymmetrische Belastung kann auf zwei Belastungsfälle zurückgeführt werden:

- Radiale Linienkraft F
- Radiales Biegemoment M

2.2 - Ebene rotationssymmetrische Apparateelemente

Der Kreisring

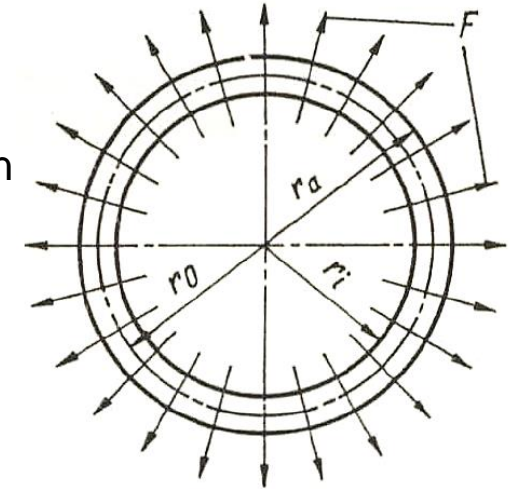
Modell

Berechnung

Lösung

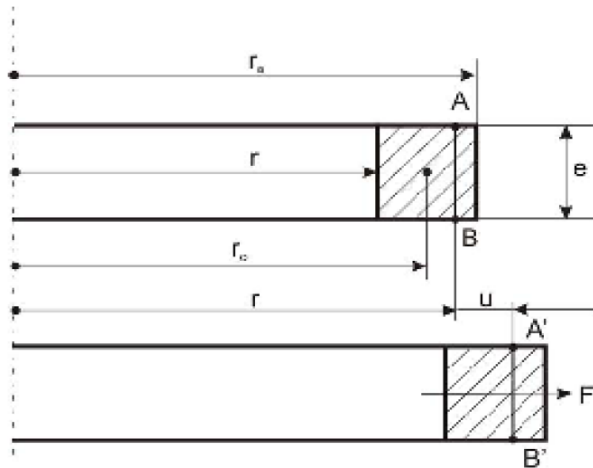
Radialkraft und Umfangsdehnung

- F = längenbezogene Ringkraft, bezogen auf r_0
- F verursacht näherungsweise gleiche radiale Verschiebung in allen Querschnittspunkten



$$r_0 = \frac{(r_i + r_a)}{2}$$

Umfangsdehnung



$$\varepsilon_\Phi = \frac{2\pi(r + u) - 2\pi r}{2\pi r} = \frac{u}{r} \approx \frac{u}{r_0} \quad (R_1)$$

2.2 - Ebene rotationssymmetrische Apparateelemente

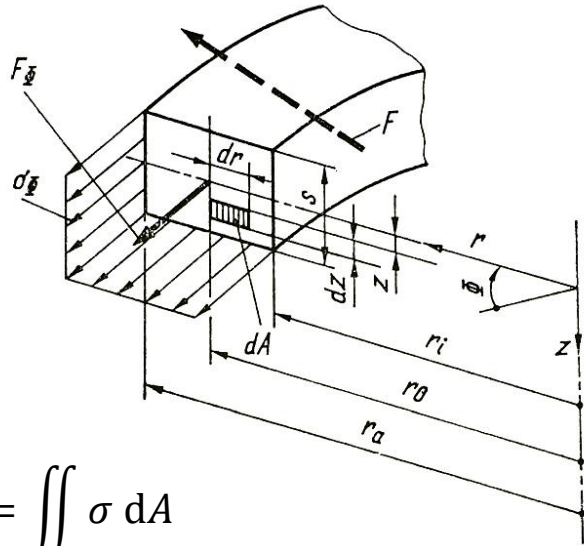
Der Kreisring

Modell

Berechnung

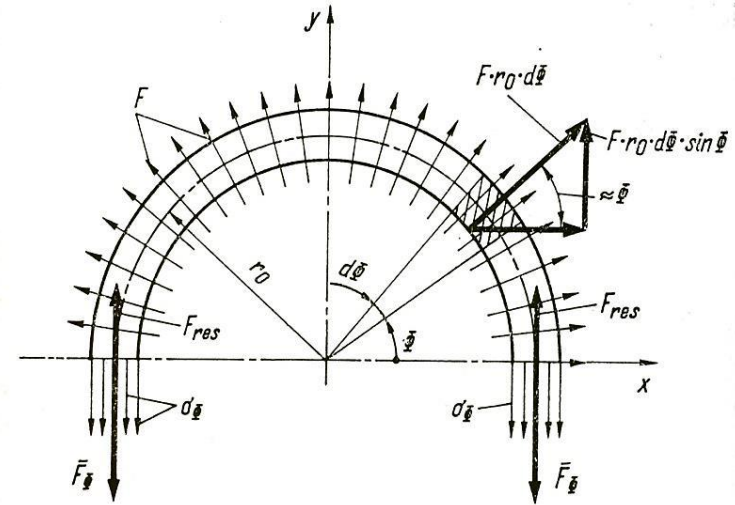
Lösung

Radialkraft und Umfangsdehnung



$$\bar{F}_\phi = \iint_{(A)} \sigma \, dA$$

$$\bar{F}_\phi = \sigma \cdot A \quad \text{(R2)}$$



$$2\bar{F}_\phi = \int_0^\pi F r_0 \sin \phi \, d\phi = F \cdot r_0 [-\cos \phi]_0^\pi$$

$$\bar{F}_\phi = F \cdot r_0 \quad \text{(R3)}$$

$$\text{(R2)} = \text{(R3)} \quad \sigma_\phi = \frac{F \cdot r_0}{A} \quad \text{(R4)}$$

$$\text{(R1)} + \text{Hooke} \longrightarrow u = \frac{F \cdot r_0^2}{EA} \quad \text{(R5)}$$

2.2 - Ebene rotationssymmetrische Apparateelemente

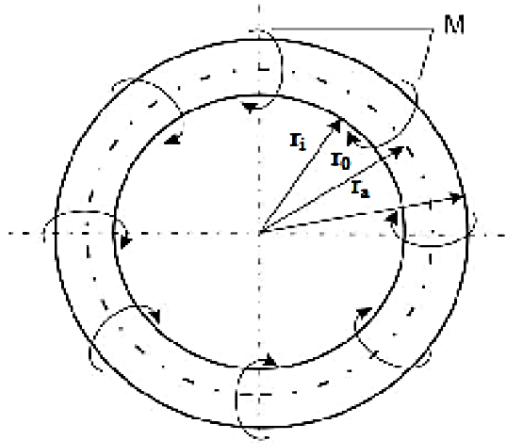
Der Kreisring

Modell

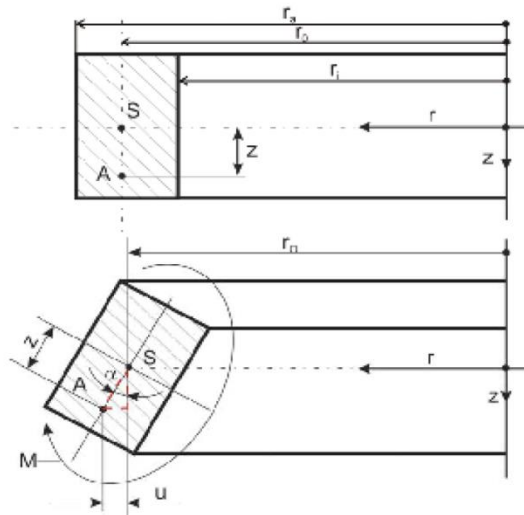
Berechnung

Lösung

Radialmoment und Umfangsdehnung



- M = längenbezogenes Ringmoment, bezogen auf den Kreis mit dem Radius r_0
- M verdreht den Ringquerschnitt um den Flächenschwerpunkt S um den Betrag des Winkels α



$$\varepsilon_\phi = \frac{u}{r_0}$$

$$u = z \cdot \alpha$$

$$\varepsilon_\phi = \frac{z \cdot \alpha}{r_0}$$

(R6)

2.2 - Ebene rotationssymmetrische Apparateelemente

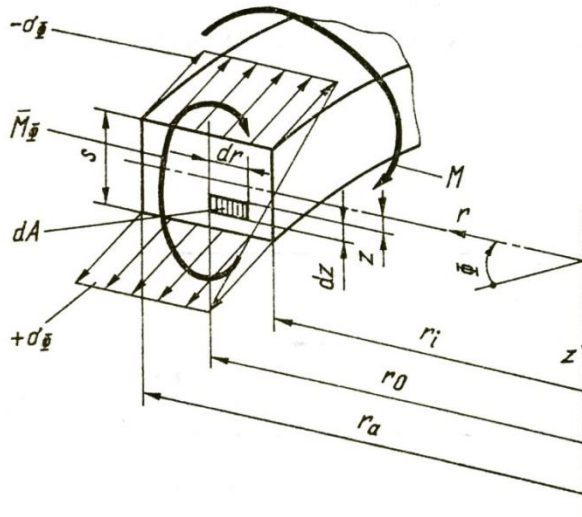
Der Kreisring

Modell

Berechnung

Lösung

Umfangsmoment



$$\bar{M}_\phi = \iint_{(A)} \sigma_\phi(z) \cdot z \, dz dr = (r_a - r_i) \int_{-e/2}^{e/2} \sigma_\phi(z) \cdot z \, dz$$

$$\sigma_\phi(z) = \sigma_\phi \frac{z}{e/2} \quad \bar{M}_\phi = (r_a - r_i) \frac{\sigma_\phi}{e/2} \int_{-e/2}^{e/2} z^2 dz$$

$$\bar{M}_\phi = (r_a - r_i) \frac{e^3}{12} \frac{\sigma_\phi}{e/2}$$

$$\bar{M}_\phi = I \frac{\sigma_\phi}{e/2}$$

(R7)

I = Flächenträgheitsmoment
des Ringquerschnittes

$$I = \frac{(r_a - r_i)e^3}{12}; \quad W = \frac{(r_a - r_i)e^2}{6}$$

2.2 - Ebene rotationssymmetrische Apparateelemente

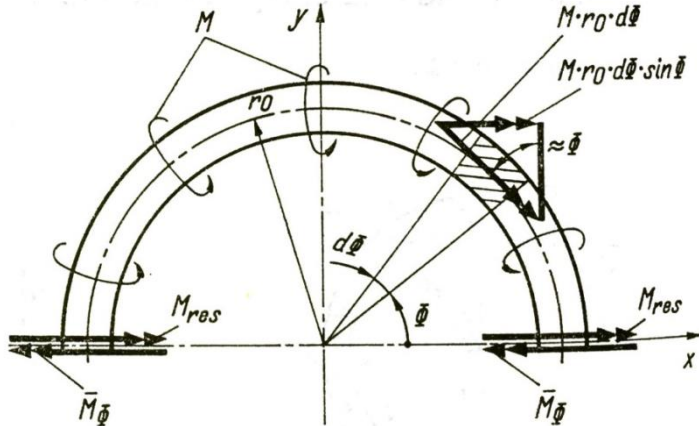
Der Kreisring

Modell

Berechnung

Lösung

GGW gegen Verdrehen



$$2\bar{M}_\phi = \int_0^\pi M r_0 \sin \phi \, d\phi$$

$$\bar{M}_\phi = M \cdot r_0 \quad (R8)$$

$$(R7) = (R8) \longrightarrow \sigma_\phi = \frac{M \cdot r_0}{I} \cdot \frac{e}{2} \quad (R9)$$

$$\text{Hooke'sches Gesetz} + (R9) \text{ \& } (R6) \quad \alpha = \frac{M r_0^2}{E \cdot I} \quad (R10)$$

$$\sigma_\phi = \pm \frac{M r_0}{W}$$

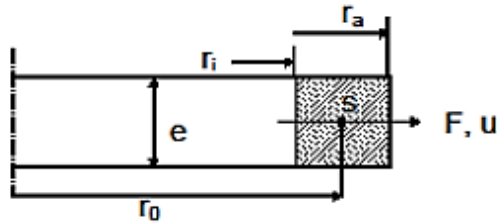
$$W = \frac{I}{e/2} = \frac{(r_a - r_i)e^2}{6} \quad (R11)$$

Widerstandsmoment des Ringquerschnittes

2.2 - Ebene rotationssymmetrische Apparateelemente

Der Kreisring

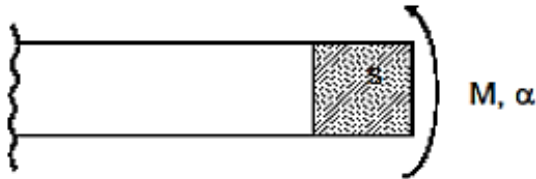
Zusammenfassung



$$\frac{r_a}{r_i} \leq 1,25$$

$$\sigma_\phi = \frac{F \cdot r_0}{A}$$

$$u = \frac{F \cdot r_0^2}{E A}$$



$$\sigma_\phi = \pm \frac{M \cdot r_0}{W}$$

$$\alpha = \frac{M r_0^2}{E \cdot I}$$

Geometrische Größen für den Rechteckquerschnitt:

$$A = (r_a - r_i) \cdot e \quad \text{- Ringquerschnitt}$$

$$I = \frac{(r_a - r_i) e^3}{12} \quad \text{- Flächenträgheitsmoment}$$

$$W = \frac{(r_a - r_i) e^2}{6} \quad \text{- Widerstandsmoment}$$

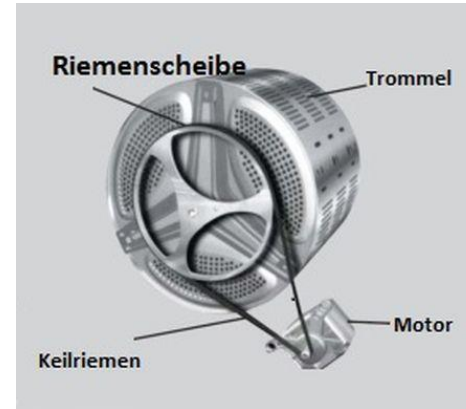
Zum Abschluss

■ Berechnungsbeispiele

Scheibe: Skript S. 2.37 und 2.38

Platte: Skript S. 2.27 bis 2.30

Ring: S. 2.45



Trommel-Scheibe, themetempest.com

Mannloch-Abdeckung, stb-umwelttechnik.de



Ring vom Autoklav, wikipedia

